

AF /89  
090825 80.0KV X2500

24

Fig. 1

AF 32/89/SERCE  
09.11.87 80.0KV X2500

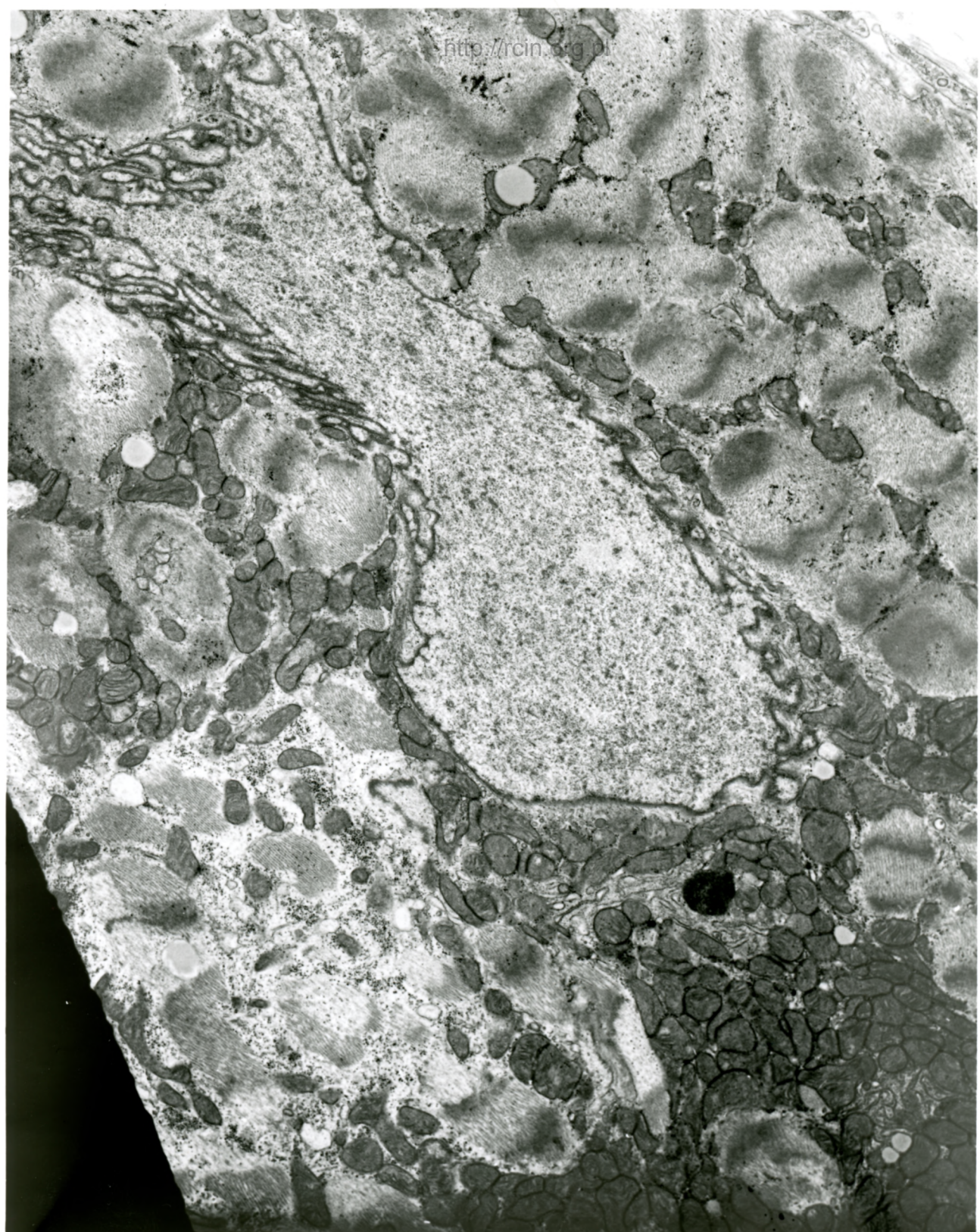
246

Fig. 2

AF 32/98  
29.1.1986 80.0KV X3000

2μm

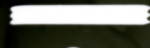
Fig. 3



AF 32/9

29.1.1986

80.0KV X3000



2μm

Fig. 4

AF 32/89/SERCE  
091186 80.0KV X3000

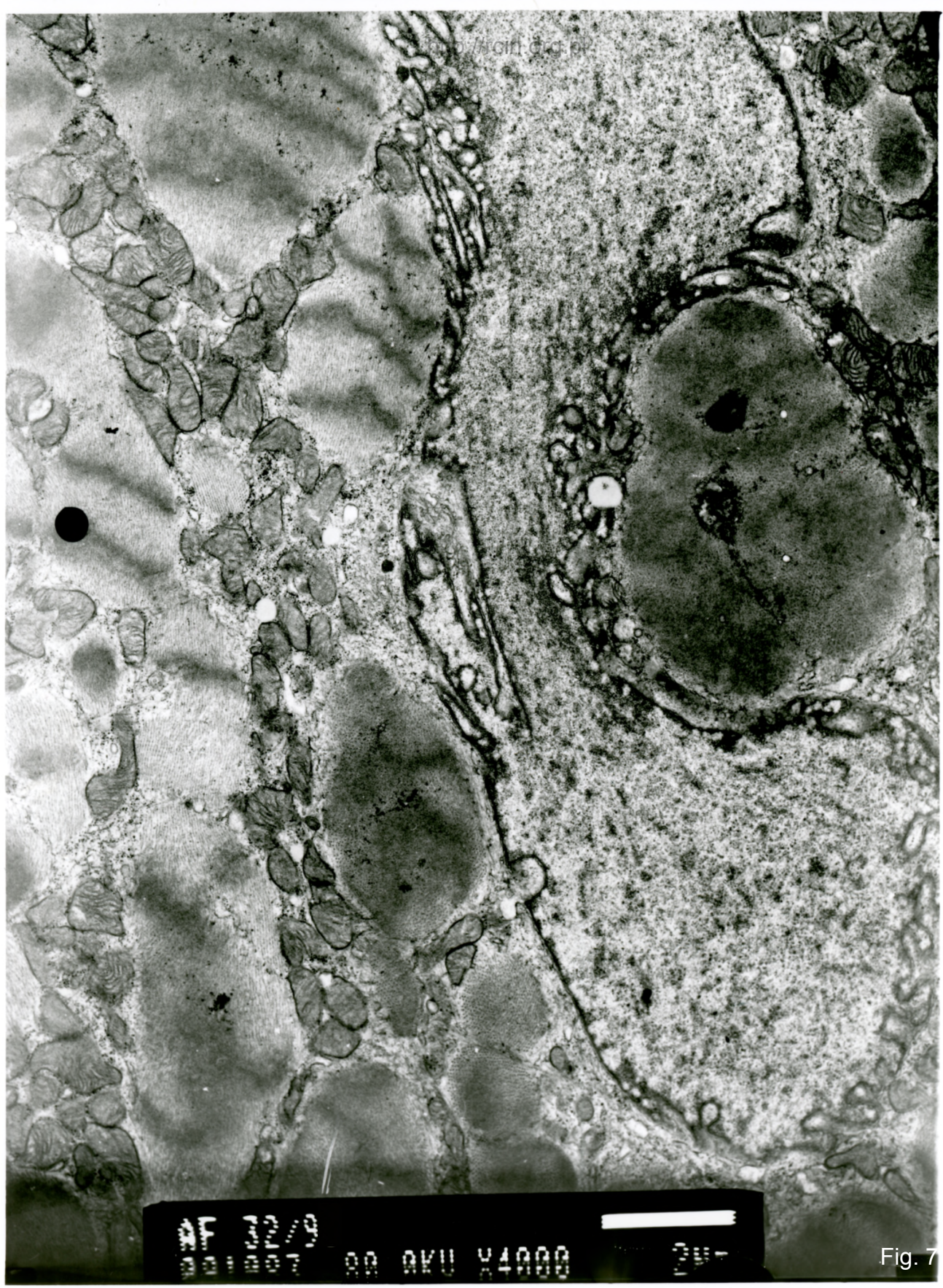
24

Fig. 5

AF 32/89/SERCE  
19119R 80.0KV X3000

24 ▶

Fig. 6



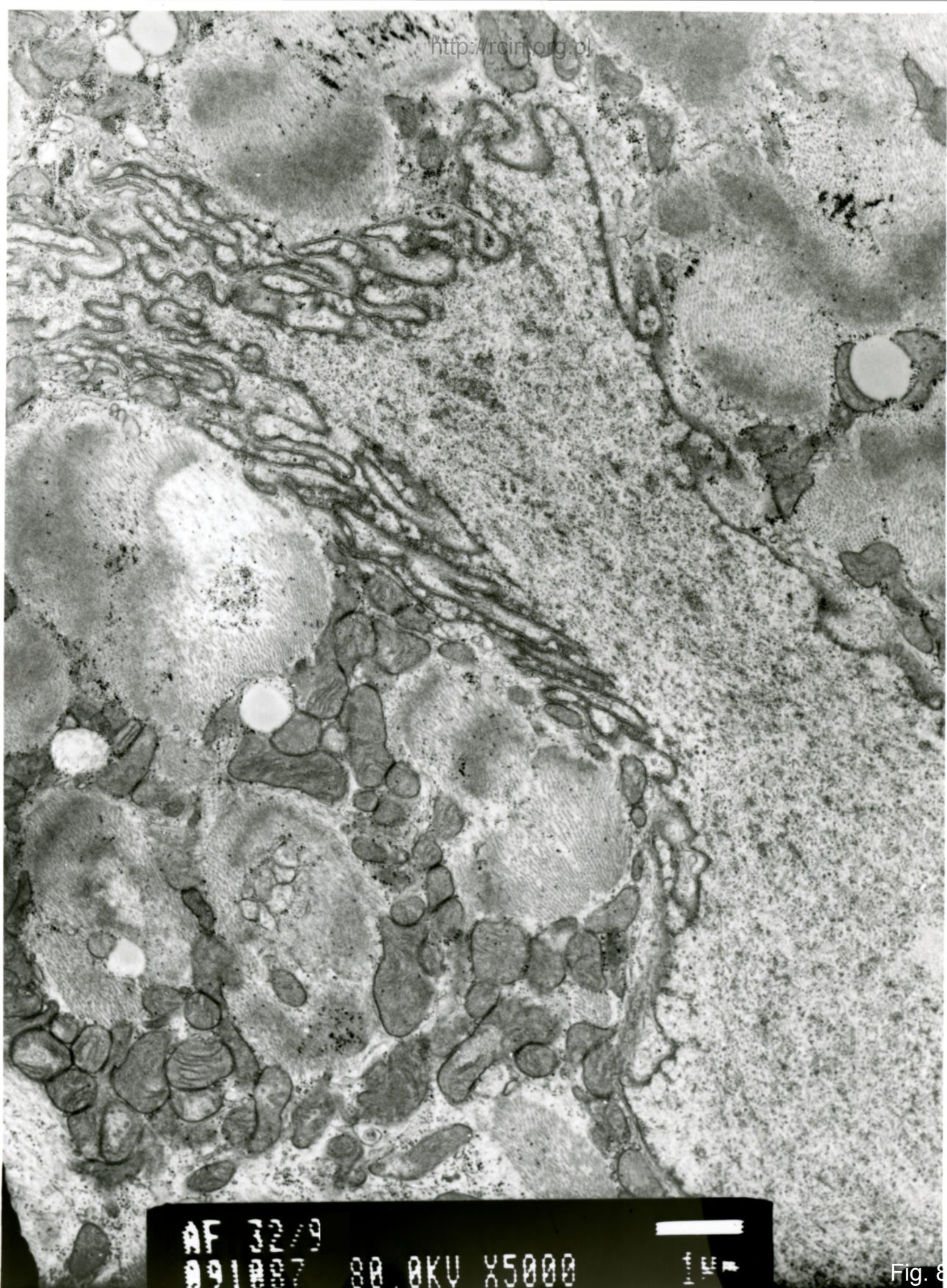
AF 32/9

September

88 AKU X4000

2μm

Fig. 7



AF 32/9

091887

80.0KV X5000

1μm

Fig. 8

AF 32/89/SERCE  
091185 80.0KV X6000

1μm

Fig. 9

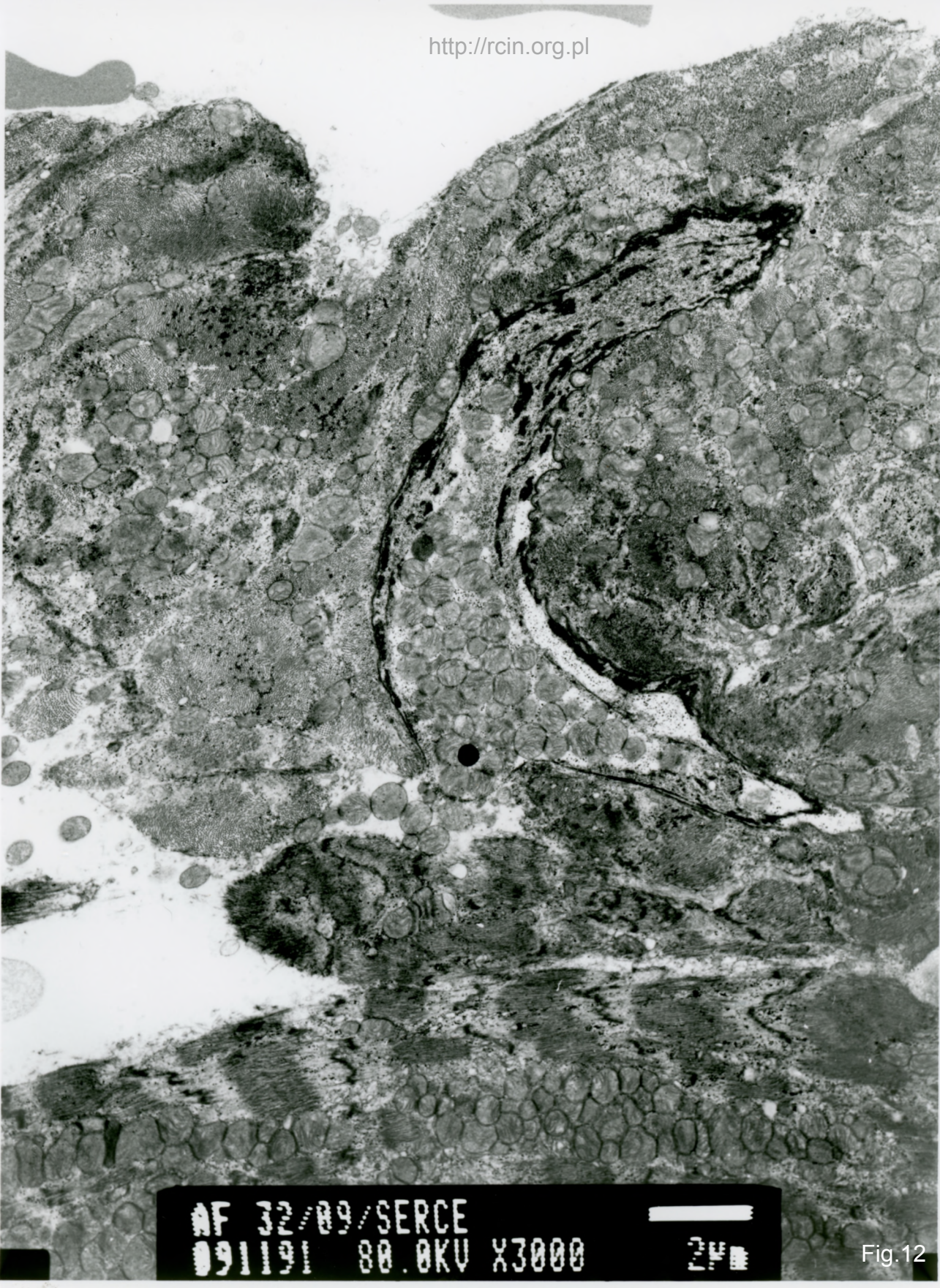
AF 12/9  
sc10000 88.0KV 87000

2μm

Fig.10

AF 32/9  
091082 80.0KV X6000 1μm

Fig.11



AF 32/89/SERCE

091191 80.0KV X3000

—

2μm

Fig.12

AF 32/9

891084 80.0KV X7500

1µm

Fig.13

AF 32/9

2010-77 00 XVII V 0000

Fig.14



AF 32/89/SERCE  
091188 80.0KV X7500

1μm

Fig.15

AF 32/89/SERCE  
091189 80.0KV X15K 500nm

Fig.16

32/09

1. 35

### Kardiomiopatia rozstrzeniowa

Analiza ultrastrukturalna wykazała nieprawidłowy układ sarkomerów, zaburzenia w przebiegu miofibryli oraz ich dezorganizację (Fig. 1,2,3). Obserwowano cechy charakterystyczne dla laminopatii. Jądra kardiomiocytów miały nieprawidłowy kształt, otoczka jądrowa była pofałdowana, z licznymi wgłobieniami, a miejscami przerwana (Fig. 4-9). Wiele jąder zawierało w swym wnętrzu organelle komórkowe lub oblonione struktury (Fig. 10-13). Miejscami obserwowano złogi lipofuscyny (Fig. 14) i ciała mielinopodobne (Fig. 15,16).

### Dilated cardiomyopathy

Ultrastructural analysis revealed changes in sarcomere pattern, myofibrils disruption and disorganization (Figs. 1,2,3). Features characteristic for laminopathy were observed. The nuclei of cardiomyocytes were abnormally shaped, the nuclear envelope was corrugated, with numerous indentations. Focally breaks in the nuclear membrane were seen (Figs. 4-9). Many nuclei contained cellular organelles or membrane-surrounded structures inside (Figs. 10-13). Lipofuscin deposits (Fig. 14) and myelin-like bodies (Figs. 15,16) were observed in some areas.